

多孔 α -Al₂O₃载体上 Silicalite-1 膜的表面改性与选择性透醇分析

刘秀凤 柳伟 郑孟瑶 张宝泉*

(天津大学化工学院化学工程联合国家重点实验室, 天津 300072)

摘要: 分别使用十二烷基三甲氧基硅烷(DMS)和硬脂酸(STA)对 α -Al₂O₃载体上二次生长合成的 silicalite-1 膜进行修饰, 提高其表面疏水性。红外光谱和接触角测试结果表明, 改性剂以化学键的形式结合于分子筛膜表面, 膜表面由亲水变为疏水。表面改性的最佳预处理温度为 150 ℃, 改性剂的最佳质量分数为 10%。进一步研究了膜表面润湿特性和热稳定性, 其中 DMS 改性后的分子筛膜在空气中经 250 ℃高温处理后仍保持疏水性不变。在乙醇/水分离应用中, 高温脱除模板剂后缺陷的孔径分布在 1~5 nm, 表面改性后乙醇分离因子较改性前提高 5 倍, 最高可达 21.6。

关键词: 分子筛膜; 表面改性; 渗透汽化; 分离

中图分类号: O613.72; O611.4 文献标识码: A 文章编号: 1001-4861(2014)12-2706-07

DOI: 10.11862/CJIC.2014.378

α -Al₂O₃ Supported Silicalite-1 Membranes: Surface Modification and Performance on Selective Permeation of Ethanol

LIU Xiu-Feng LIU Wei ZHENG Meng-Yao ZHANG Bao-Quan*

(State Key Laboratory of Chemical Engineering, School of Chemical Engineering and Technology, Tianjin University, Tianjin 300072)

Abstract: The silicalite-1 membrane on the α -Al₂O₃ substrate synthesized by the secondary growth method was modified to improve its surface hydrophobicity with dodecyltrimethoxysilane (DMS) and stearic acid (STA). The FTIR spectroscopy and contact angle measurements revealed that modifying agents were presented at the silicalite-1 membrane surface by chemical bonding and the surface wetting property was varied from hydrophilic to hydrophobic. The optimum pretreatment temperature was 150 ℃, and the optimum mass fraction of the modifying agents was ca. 10%. Moreover, the relationship between wetting property and thermal stability was also investigated, the results showed that the modified membrane with DMS possessed good hydrophobicity below 250 ℃ in air. For the recovery of ethanol from its aqueous solution, although the defect size of the silicalite-1 membrane was ranged from 1 nm to 5 nm, the separation factor of the modified membrane was up to 21.6 which is five times higher than without surface modification.

Key words: zeolite membrane; surface modification; pervaporation; separation

由于分子筛膜具有规则的微孔结构、良好的催化性能, 而且耐高温、耐化学腐蚀, 在膜分离、膜反应器、化学传感器和微电子等领域有广泛的应用前景^[1-4]。在低浓度有机物/水混合物分离方面, 疏水性的 silicalite-1 膜最有研究价值^[5]。分子筛膜的亲疏水性对液体分离起至关重要作用, 然而 silicalite-1 膜

表面由于-OH 的存在^[6]、模板剂脱除过程中产生的缺陷^[7-8]、以及在 silicalite-1 分子筛膜合成过程中从多孔 α -Al₂O₃载体上 Al 的析出^[9], 最终导致 silicalite-1 膜出现缺陷, 同时表面疏水性下降, 从而降低选择性分离效能。

Sano 课题组采用硅烷偶联剂修饰 silicalite-1 膜

收稿日期: 2014-04-19。收修改稿日期: 2014-09-09。

国家自然科学基金(No.21136008)资助项目。

*通讯联系人。E-mail:bqzhang@tju.edu.cn; Tel:022-27408785

表面, 分别对不锈钢^[10]和氧化铝^[11]载体上制备的 silicalite-1 膜进行表面改性以提高膜表面的疏水性, 并通过多次硅烷化处理减小膜层的晶间孔尺寸。虽然不锈钢载体上 silicalite-1 膜经改性后乙醇分离因子有所提高, 但渗透通量只是改性前的 1/5 以下; 在氧化铝载体上 silicalite-1 膜经改性后, 乙醇分离选择性能变化不大, 但渗透通量严重下降。Hensen 课题组采用三乙氧基氟硅烷(TEFS) 处理高硅 MFI、MEL 分子筛膜, 提高其疏水性, 经改性后的分子筛膜具有更好的透醇选择性, 但是膜的渗透通量减为原来的一半左右^[12]。综上所述, 通过表面改性可提高膜表面的疏水性, 从而在一定程度上提高 silicalite-1 分子筛膜的透醇(或有机物)选择性。但是, 在提高分离因子的同时如何保持膜的通量, 以及充分认识改性条件对疏水性和稳定性的影响, 特别是充分认知膜层缺陷和表面疏水性与分子筛膜分离效能的关系, 是分子筛膜走向实用化的关键问题之一, 目前相关的研究工作还未见报道。本工作采用十二烷基三甲氧基硅烷(DMS)和硬脂酸(STA)对 silicalite-1 膜进行表面改性, 研究不同质量分数的改性剂和不同预处理温度对改性后膜表面疏水性的影响, 并考察改性剂在超声处理和热处理条件下的稳定性, 以及膜的疏水性和缺陷对膜分离效果的影响。

1 实验部分

1.1 试剂与材料

实验用化学试剂分别为正硅酸乙酯(TEOS, 分析纯, 天津市化学试剂一厂)、四丙基氢氧化铵(TPAOH, 分析纯, 天津市光复精细化工研究所)、十二烷基三甲氧基硅烷(DMS, 分析纯, 杭州包尔得有机硅有限公司)、硬脂酸(分析纯, 天津市光复精细化工研究所)和无水乙醇(分析纯, 天津市光复精细化工研究所)。去离子水由 UPR-II-10T 型超纯水机制得, 电阻率 18 MΩ·cm(在线检测)。自制的片状 α -Al₂O₃ 直径 20 mm、厚度 2 mm, 孔隙率 45%, 平均孔径 320 nm^[13]。用 2000 号砂纸将 α -Al₂O₃ 载体表面打磨至平整、光滑, 并分别在乙醇、去离子水中超声清洗 10 min 后烘干备用。

1.2 Silicalite-1 分子筛膜制备

采用物质的量的比为 $n_{\text{TEOS}}:n_{\text{TPAOH}}:n_{\text{H}_2\text{O}}=1:0.36:90$ 的合成液制备 silicalite-1 晶种。配制好的合成液在油浴、持续搅拌的条件下, 130 ℃晶化 8 h, 得到的 silicalite-1 晶粒经反复离心清洗, 至洗涤液 pH 值约

为 7, 干燥后加水配制成 0.5 wt% 的晶种液。将 0.5 mL 晶种液在匀胶机(KE-4A, 中科院微电子所)上, 以 2 000 r·min⁻¹ 速度旋涂 40 s, 在 α -Al₂O₃ 载体上制备 silicalite-1 晶种层。将载体以晶种层向上的方式放入支架, 置于 50 mL 内衬聚四氟乙烯的不锈钢晶化釜内。倒入 20 mL 二次生长合成液, 然后在 150 ℃条件下晶化 16 h。二次生长液的配方为 $n_{\text{TEOS}}:n_{\text{TPAOH}}:n_{\text{H}_2\text{O}}=1:0.2:750$ 。晶化完成后用去离子水清洗膜表面, 放入 60 ℃烘箱干燥 24 h。将通过验漏实验的膜片(渗透率小于 $10^{-10} \text{ mol}\cdot\text{m}^{-2}\cdot\text{s}^{-1}\cdot\text{Pa}^{-1}$)在 450 ℃煅烧 10 h 以脱除模板剂, 升降温速率为 0.5 ℃·min⁻¹。

1.3 膜表面改性与处理

膜表面改性前用双氧水处理, 除去膜表面杂质、增加膜表面羟基数量。改性实验的装置流程如图 1 所示。膜片用聚四氟乙烯垫圈固定在不锈钢膜组件中, 整个不锈钢膜组件放置在可控温加热炉中。改性前膜片在 150 ℃氮气氛围中干燥预处理 6 h, 除去膜中的水分。然后膜表面侧加入有机溶液相(辛烷溶液), 下侧与干燥氮气相接触。膜组件下侧的压力用标准压差计测量, 压力控制在 0.2 MPa。在 110 ℃进行冷凝回流反应 8 h。改性后的膜片分别用辛烷和乙醇清洗, 最后在 95 ℃真空干燥箱中干燥 24 h。

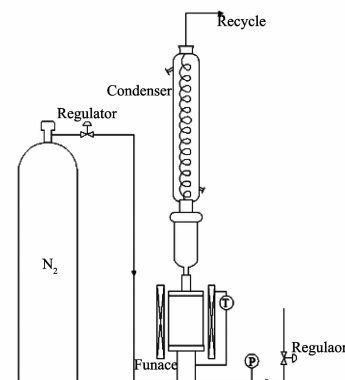


图 1 分子筛膜表面改性实验装置图

Fig.1 Experimental setup for surface modification of zeolite membranes

改性后的膜进行超声处理, 条件如下: 频率 40 Hz、功率 50 W, 温度 35 ℃, 时间 10 min。改性后的膜分别在 60、110、170、200、250、300 ℃条件下处理 5 h。然后用去离子水冲洗处理后的膜表面, 60 ℃条件下干燥。

1.4 表征

使用 FEI 公司的 Nanosem 430 场发射扫描电子

显微镜考察分子筛晶种层和分子筛膜的形貌, 加速电压 10.0 kV。采用 Thermo Scientific 公司的 Nicolet 6700 傅立叶变换红外光谱仪(带漫反射附件)测定分子筛及膜表面的官能团, 扫描精度 4 cm^{-1} 。膜层表面的接触角采用 Dataphysics 公司的 OCAH 2000 接触角测试仪测定(测定介质为水), 采用 SCA202 软件分析接触角大小。

应用实验室自制的孔径分布测量装置来测量模板剂脱除后膜缺陷的分布情况^[13]。应用渗透气化实验装置对膜进行分离性能测试^[9]。

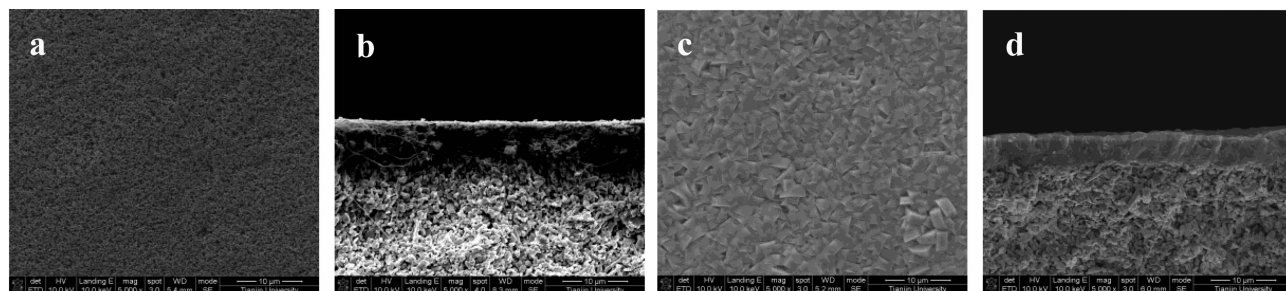


图 2 晶种层(a)、(b)和膜层(c)、(d)的 SEM 图

Fig.2 SEM images of the seed layer (a), (b), and the zeolite membrane (c), (d)

2.2 Silicalite-1 膜表面改性

2.2.1 红外光谱分析

文献研究结果表明,DMS 分子可与 silicalite-1 分子筛表面的硅羟基作用, 键合到分子筛表面, 反应机理如图 3(a)所示^[14]。DMS 改性后分子筛膜的漫反射傅立叶红外光谱图如图 4 (b) 所示。在低频区 $630, 1\ 343 \text{ cm}^{-1}$ 处载体的吸收峰和 $810, 1\ 090, 1\ 230 \text{ cm}^{-1}$ 处 Si-O 振动峰几乎不变, 修饰后高频区在 $2\ 850, 2\ 916$ 和 $2\ 955 \text{ cm}^{-1}$ 处出现的吸收峰为 $-\text{CH}_2-$ 和 $-\text{CH}_3$ 的对称和不对称伸缩振动峰^[14]。在 $3\ 450 \text{ cm}^{-1}$ 处的 Si-OH 吸收峰几乎没有变化, 其原

2 结果与讨论

2.1 Silicalite-1 分子筛膜

根据先期的实验研究发现, 采用二次生长法制备 silicalite-1 分子筛膜具有很高的重复性, 制备方法可靠。图 2(a)和(b)为旋涂法制备的晶种层正面和断面的 SEM 图, 晶种层在 $\alpha\text{-Al}_2\text{O}_3$ 载体表面均匀覆盖, 其厚度约为 $1.5 \mu\text{m}$ 。二次生长 16 h 后, 膜表面和断面形貌如图 2(c)和(d)所示, 膜表面的分子筛颗粒充分交联生长, 膜的厚度仅为 $6 \mu\text{m}$ 。

因是由于 DMS 分子有效直径大于分子筛孔道尺寸而不能进入分子筛孔道内部, 而仅与膜表面的 Si-OH 反应, 导致改性后膜表面的 Si-OH 减少不明显^[10]。同样对改性后的样品进行超声处理, 获得的漫反射红外光谱如图 4(c)所示。高频区吸收峰 $2\ 916$ 和 $2\ 955 \text{ cm}^{-1}$ 仍存在, 说明 DMS 分子在膜表面结合牢

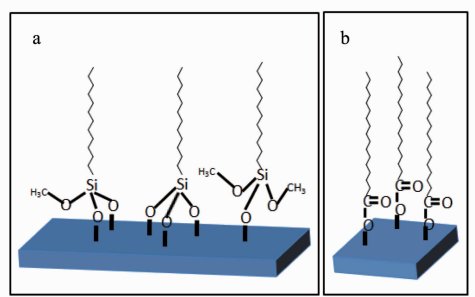


图 3 DMS(a)和 STA (b)与分子筛表面硅羟基反应机理

Fig.3 Schemes for surface reaction of silanols with DMS (a) and STA (b) molecules

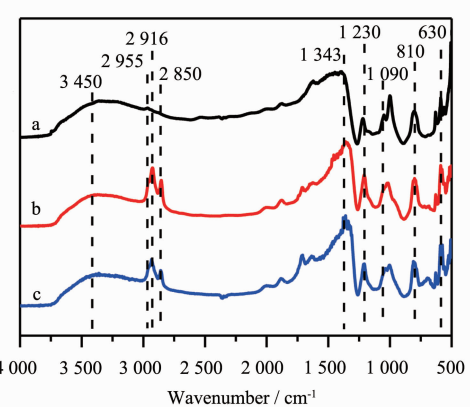


图 4 采用 DMS 改性前(a)、改性后(b)、超声处理后(c)分子筛膜的漫反射红外光谱图

Fig.4 Diffuse-reflectance FTIR spectra of silicalite-1 membranes before modification (a) and after modification (b) with DMS, and the modified membrane after ultrasonic treatment (c)

固,与膜表面的 Si-OH 发生的缩合反应,而非以物理吸附的形式存在^[14-15]。

为了探究 STA 与分子筛膜表面硅羟基的作用情况,首先用 STA 对 silicalite-1 晶体颗粒进行表面改性,STA 的红外光谱及改性前后 silicalite-1 晶体颗粒的红外光谱如图 5 所示。改性后 3 490 cm⁻¹ 处的 Si-OH 峰强度有所降低,说明颗粒表面的 Si-OH 数量减小,同时在 2 917 和 2 849 cm⁻¹ 处出现-CH₂-基团中 C-H 不对称和对称伸缩振动峰。而在 1 506 和 1 430 cm⁻¹ 处新出现的弱吸收峰为 COO⁻不对称和对称振动吸收峰,在 2 674 cm⁻¹ 处 STA 二聚体的吸收峰和 1 701 cm⁻¹ 处 STA 中极性部分 COO⁻吸收峰几乎消失,说明硬脂酸与 silicalite-1 颗粒表面活性较高 Si-OH 基团发生类似羧酸与醇的酯化反应,生成-Si-COC(CH₂)₁₆CH₃ 基团^[15],反应机理如图 3(b)所示。

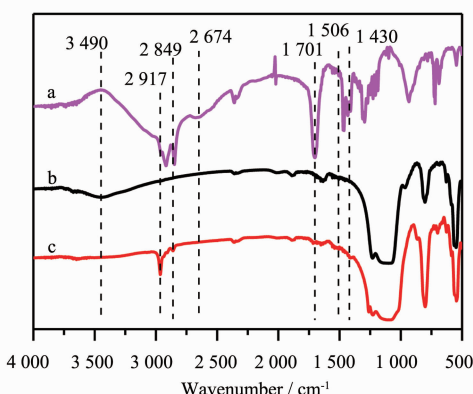


图 5 STA(a)、silicalite-1 晶体颗粒改性前(b)、改性后(c)的红外光谱图

Fig.5 FTIR spectra of stearic acid (a), silicalite-1 before (b) and after (c) modification

用 STA 对膜进行改性,获得的漫反射傅立叶红外光谱图如图 6 所示。对比改性前的结果(图 6(a)),在波数为 2 917 和 2 849 cm⁻¹ 处均出现了 STA 中非极性部分 C-H 吸收峰,而 STA 中二聚体的吸收峰(2 674 cm⁻¹)和羧基伸缩振动吸收峰(1 701 cm⁻¹)几乎消失,说明在膜表面以物理吸附形式存在的 STA 很少。在 1 506 和 1 430 cm⁻¹ 处没有 COO⁻不对称和对称伸缩振动吸收峰,这可能是由于氧化铝在 1 343 cm⁻¹ 处吸收峰将其覆盖。将硬脂酸改性后的膜超声处理后其红外光谱如图 6 (c) 所示。高频区 2 917、2 849 cm⁻¹ 处 C-H 吸收峰不变,说明 STA 以化学键形式牢固地结合于分子筛膜表面。

2.2.2 膜表面接触角表征

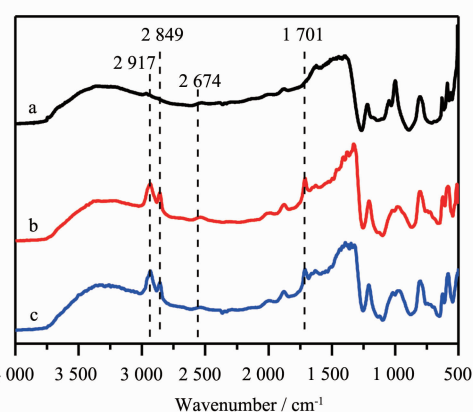


图 6 采用 STA 改性前(a)、改性后(b)、超声处理后(c)分子筛膜漫反射红外光谱图

Fig.6 Diffuse-reflectance FTIR spectra of silicalite-1 membranes before modification (a) and after modification (b) with STA, and the modified membrane after ultrasonic treatment (c)

影响膜表面改性效果的因素主要有改性物质的质量分数和预处理温度。应用不同质量分数 DMS 的辛烷溶液来改性膜表面,改性后膜表面的接触角随着 DMS 质量分数的增加而增大,当 DMS 质量分数增大到 10% 时,膜表面部分测试点的接触角甚至超过 150°,即超疏水。原因是随着 DMS 质量分数增加,更多的 DMS 分子与膜表面-Si-OH 缩合,导致膜表面硅烷化程度增大,烷基链增多,接触角增大。但当 DMS 的质量分数增大到 20% 时,可能导致形成烷基链多层,增加烷基链的无序性,不仅使得接触角下降,而且还会堵塞部分分子筛孔道。因此 DMS 改性膜表面的最佳质量分数为 10%。而对于不同的改性剂来说,考虑到改性剂的分子量不同,则改性剂的最佳质量分数需要在 10% 的基础上适当增加或减少。

预处理温度不同使膜表面物理态吸附的水以及膜表面羟基的数量发生变化,因此预处理温度也是影响膜表面改性的另一个重要因素。当温度在 150 °C 以上时可移除膜表面物理吸附的水,这有利于 DMS 分子直接与膜表面的羟基发生反应,减少了 DMS 分子之间的缩合交联,避免反应后的 DMS 分子覆盖分子筛孔道。但当预处理温度大于 170 °C 为 200 °C 时,膜表面的-Si-OH 开始缩合产生水,膜表面羟基数量减少,膜表面硅烷化形成的-Si-(CH₂)_nCH₃ 基团减少^[16-17],最终导致膜表面的疏水性下降,所以膜表面改性的最佳温度为 150 °C。

由于高温水热晶化过程中从多孔 α -Al₂O₃ 载体

析出铝，晶种层上进行二次生长之后获得的silicalite-1分子筛膜表现为亲水，接触角约为32°(图7(a))。而通过DMS和STA进行化学改性后，膜表面

的接触角分别为137.8°和115.7°(图7(b)和(c))，可见改性后膜表面疏水性明显提高，且DMS改性后膜表面接触角更大。

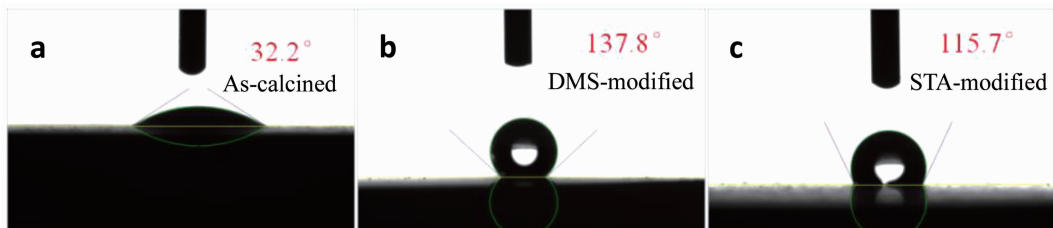


图7 膜表面的接触角

Fig.7 Contact angles of the membrane surface

2.2.2 热稳定性分析

改性后膜的润湿特性和与温度的关系如图8所示。STA改性后膜在温度低于200℃时，处理后膜表面接触角无明显变化，温度上升到250℃时，接触角开始变小，而当温度上升到300℃时，接触角骤然降至50°左右。而DMS改性后膜表面的接触角在250℃以下时保持在130°左右，温度上升到300℃后，膜表面的接触角迅速下降至74.4°。高温处理后分子筛膜表面由疏水变为亲水，这是由于分子筛膜表面-Si-(CH₂)_nCH₃基团的分解^[17]，导致膜表面疏水性下降。其中，硬脂酸改性后膜表面疏水性在空气中保持不变直到200℃，而DMS改性后膜表面疏水性在空气中可稳定存在于250℃。说明表面改性后的分子筛膜的亲疏水性能具有良好的热稳定性。

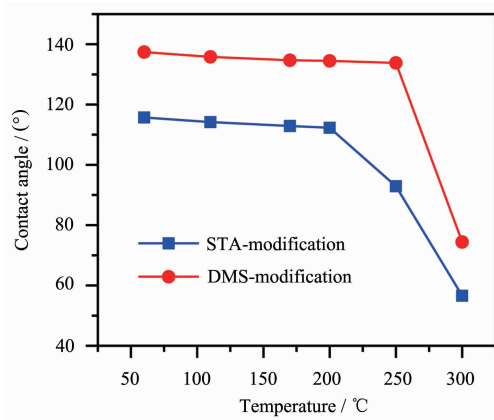


图8 高温热处理对分子筛膜表面接触角的影响

Fig.8 Effect of high-temperature treatment on the contact angle of the membrane surface

2.3 膜表面改性对其渗透汽化性能的影响

改性前后的膜应用于乙醇/水的渗透蒸发实验，分离性能用通量(Flux)和分离因子(α)来评价^[5]。实验

结果如表1所示，其中M1~M4使用DMS进行改性，而M5和M6则采用STA进行改性。

从表1中可以看到，改性后样品的乙醇分离因子并非均显著提高，其中M1和M2在DMS改性前后分离因子变化不大。表面改性前M1的孔径分布如图9(a)所示，最大孔径在20 nm以上，其中缺陷孔径集中分布在2~10 nm之间，且这部分缺陷所占比例较大。表明M1在高温脱除模板剂的过程中产生大量的介孔缺陷，这种情况下膜表面的亲疏水性对乙醇分离性能影响不大。

表1中除M1和M2外的其它膜，用DMS和STA改性后，渗透侧乙醇浓度显著提高，M4膜的分离因子较改性前提高了5倍，最高达21.6，说明表面改性对乙醇分离性能的提高是非常有效的。其原因可归结于如下两个方面：其一是改性后膜表面疏水性的提高。分子筛膜渗透蒸发分离机理是吸附-扩散，水和有机物的分离主要依靠物质吸附性能的差异，因此膜表面亲疏水性影响分离性能^[5,18]。膜表面改性前后水的接触角如图(7)所示，改性后膜表面水的接触角急剧增大，表明水在膜表面吸附性能变差，更有利于醇的吸附。其二取决于脱除模板剂后膜中缺陷的分布。改性前M4的孔径分布如图9(b)所示，高温脱除模板剂后缺陷的最大尺寸为5 nm，缺陷主要在1~3 nm之间，且缺陷所占比例很小。因此，高温脱除模板剂后的膜，存在少量小于5 nm的缺陷孔时，通过表面改性可提高其分离性能。

从表1中还可以看到，改性后总通量仅略有下降，但是乙醇的通量反而增大，这成功解决了文献报道的改性后膜通量下降严重问题^[10,12]。与采用STA改性相比，采用DMS改性后膜表面接触角更大、疏水性更强、乙醇分离因子更大，因此采用DMS修饰

表1 改性前后Silicalite-1膜乙醇水溶液的渗透汽化实验数据

Table 1 Pervaporation results of Silicalite-1 membranes before and after surface modification for aqueous ethanol solution

Membrane	Modifier	$C_{\text{EtOH,permeate}} / \text{wt}\%$	EtOH flux / ($\text{kg} \cdot \text{m}^{-2} \cdot \text{h}^{-1}$)	Total flux / ($\text{kg} \cdot \text{m}^{-2} \cdot \text{h}^{-1}$)	α
M1	—	7.3	0.27	3.75	1.5
	DMS	10.4	0.37	3.54	2.2
M2	—	6.4	0.19	2.95	1.3
	DMS	9.1	0.25	2.76	1.9
M3	—	8.6	0.16	1.83	1.8
	DMS	33.3	0.59	1.75	9.5
M4	—	17.7	0.18	1.04	4.1
	DMS	53.2	0.45	0.85	21.6
M5	—	9.5	0.13	1.33	2.0
	STA	34.5	0.43	1.26	10.0
M6	—	15.2	0.14	0.90	3.4
	STA	49.1	0.39	0.80	18.3
MFI-150-1 ^[12]	—	51.3	0.77	1.5	20.0
	TEFS	64.2	0.64	1.0	34.0
MFI-110-1 ^[12]	—	28.6	1.17	4.1	7.6
	TEFS	41.2	0.74	1.8	13.3

Note: $C_{\text{EtOH,feed}}=5\text{wt}\%$, pervaporation is carried out at 60 °C

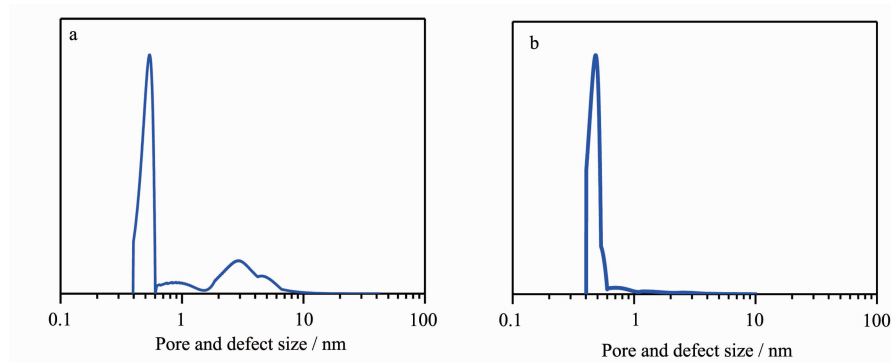


图9 M1 (a)和 M4 (b)的孔径分布
Fig.9 Pore size distribution of M1 (a) and M4 (b)

比采用STA修饰更有利于Silicalite-1膜的选择性透醇。

3 结 论

本工作在 α -Al₂O₃载体上应用二次生长法制备了致密的Silicalite-1分子筛膜,通过DMS和STA修饰提高了膜表面的疏水性。结果表明膜表面改性的最佳预处理温度为150 °C,改性剂的最佳质量分数为10%,改性后的膜具有良好的高温稳定性。高温脱除模板剂后的膜,即使存在1~5 nm范围内的缺陷,经表面改性后乙醇分离因子仍可提高5倍,而总

通量仅略有下降,乙醇的渗透通量反而增大。

参考文献:

- [1] Lai Z P, Bonilla G, Diaz I, et al. *Science*, **2003**, *300*:456-460
- [2] Lew C M, Cai R, Yan Y S. *Acc. Chem. Res.*, **2010**, *43*(2):210-219
- [3] Lang L, Liu X F, Hu M L, et al. *ChemCatChem*, **2009**, *1*:472-478
- [4] Gascon J, Kapteijn F, Zornoza B, et al. *Chem. Mater.*, **2012**, *24*:2829-2844

- [5] Bowen T C, Noble R D, Falconer J L. *J. Membr. Sci.*, **2004**, **245**:1-33
- [6] Ng E P, Mintova S. *Microporous Mesoporous Mater.*, **2008**, **114**:1-26
- [7] Choi J, Jeong H K, Snyder M A, et al. *Science*, **2009**, **325**:590-593
- [8] LIU Xiu-Feng(刘秀凤), ZHANG Bao-Quan(张宝泉), LIN Yue-Sheng(林跃生). *Chinese J. Inorg. Chem.*(无机化学学报), **2008**,**24**(10):1679-1683
- [9] Kanezashi M, OBrien J, Lin Y S. *J. Membr. Sci.*, **2006**,**286**:213-222
- [10]Sano T, Hasegawa M, Ejiri S, et al. *Microporous Mater.*, **1995**,**5**:179-184
- [11]Sano T, Yamada K, Ejiri S, et al. *Stud. Surf. Sci. Catal.*, **1997**,**105**:2179-2186
- [12]Kosinov N, Sripathi V G, Hensen E J. *Microporous Mesoporous Mater.*, **2014**,**194**:24-30
- [13]Wang C, Liu X F, Cui R L, et al. *J. Membr. Sci.*, **2009**,**330**:259-266
- [14]Zhang B Q, Wang C, Lang L, et al. *Adv. Funct. Mater.*, **2008**,**18**:3434-3443
- [15]GONG Bao-Ren(贡宝仁), YAO Chao(姚超), CHEN Qun (陈群). *New Chem. Mater.*(化工新型材料), **2011**,**39**(1):74-78
- [16]Han X L, Wang L, Li J D, et al. *Appl. Surf. Sci.*, **2011**,**257**:9525-9531
- [17]Singh R P, Way J D, Dec S F. *J. Membr. Sci.*, **2005**,**259**:34-46
- [18]Liu Q, Noble R D, Falconer J L, et al. *J. Membr. Sci.*, **1996**, **117**:163-174